Titre : SSLS144 - Cylindre sous pression interne Responsable : KUDAWOO Ayaovi-Dzifa Date: 09/01/2018 Page: 1/7 Clé: V3.03.144 Révision

dbf62274a2ac

# SSLS144 - Cylindre sous pression interne

# Résumé:

Ce test valide la modélisation <code>COQUE\_AXIS</code> (portée par des mailles <code>SEG3</code>). On effectue un calcul statique sur un réservoir cylindrique sous pression interne. Le modèle est axisymétrique. La distribution de pression sur la paroi interne du réservoir n'est pas uniforme. Les déplacements et les efforts généralisés obtenus sont comparés à une solution de référence analytique.

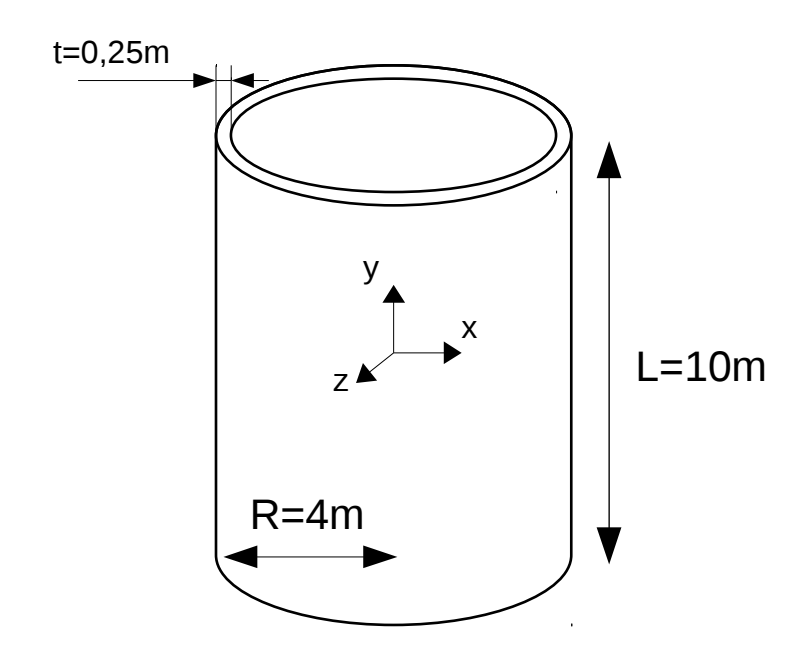
Date: 09/01/2018 Page: 2/7 Révision Responsable: KUDAWOO Ayaovi-Dzifa Clé: V3.03.144

dbf62274a2ac

# Problème de référence

#### 1.1 Géométrie

On considère un cylindre de rayon moyen 5m, d'épaisseur t = 0.25m et de longueur L = 10m. Les dimensions géométriques choisies permettent de négliger les effets de bord libre en  $y=\pm L/2$ (en axisymétrique, L doit vérifier :  $\frac{1}{2}L > 3\sqrt{Rt} = 3m$  ).



## 1.2 Propriétés du matériau

Le matériau élastique isotrope est caractérisé par les propriétés suivantes :

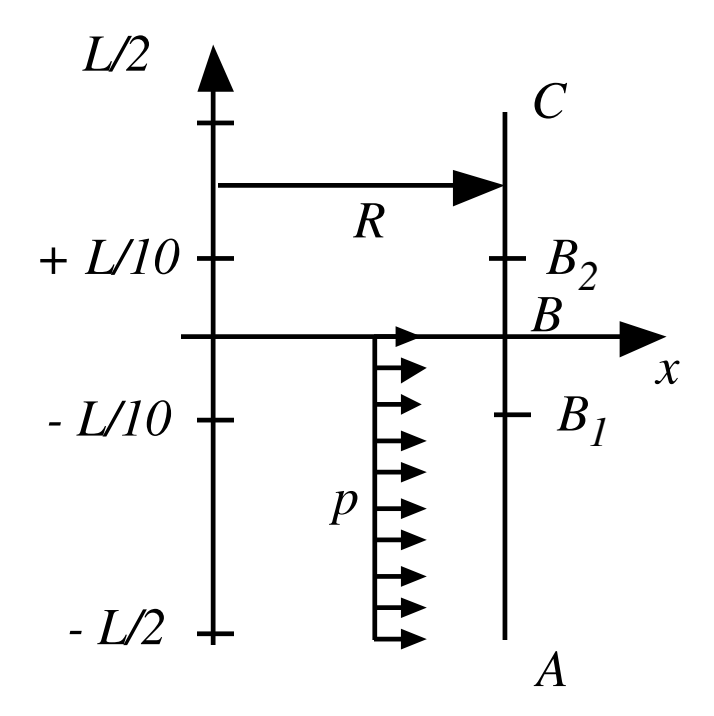
- E=1 Pa
- y = 0.3

Date: 09/01/2018 Page: 3/7 Révision Responsable: KUDAWOO Ayaovi-Dzifa Clé: V3.03.144

dbf62274a2ac

## **Conditions aux limites et chargements** 1.3

Le cylindre vertical est soumis à une pression interne p=1 Pa constante sur la partie  $y \le 0$ , et nulle sur y>0 . On impose un déplacement vertical  $u_y=0$  au point A .



Responsable : KUDAWOO Ayaovi-Dzifa Clé

Date : 09/01/2018 Page : 4/7 Clé : V3.03.144 Révision

dbf62274a2ac

# 2 Solution de référence

# 2.1 Méthode de calcul

On se place dans la théorie de LOVE-KIRCHHOFF pour le calcul de la solution analytique de ce problème.

La flèche dans le repère axisymétrique s'écrit :

$$u_{x} = \begin{cases} \frac{P}{8\alpha^{4}D} (2 - e^{\alpha y} \cos(\alpha y)) & \forall y \le 0\\ \frac{P}{8\alpha^{4}D} e^{-\alpha y} \cos(\alpha y) & \forall y \ge 0 \end{cases}$$

avec 
$$D = \frac{Et^3}{12(1-v^2)}$$
 et  $4 \alpha^4 = \frac{Et}{DR^2}$ .

La rotation s'écrit :

$$\beta_{s} = \begin{cases} \frac{P}{8\alpha^{3}D} e^{\alpha y} (\cos(\alpha y) - \sin(\alpha y)) & \forall y \leq 0\\ \frac{P}{8\alpha^{3}D} e^{-\alpha y} (\cos(\alpha y) + \sin(\alpha y)) & \forall y \geq 0 \end{cases}$$

Les efforts généralisés sont :

$$N_{\theta\theta} = \frac{Et}{R} u_x(y) ,$$

$$M_{ss} = Du_x''(y) = \frac{p}{4\alpha^2} e^{-|y|} \sin(\alpha y)$$

Les contraintes tridimensionnelles sont :

$$\sigma_{\theta\theta} = \frac{N_{\theta\theta}}{t} + 12 \frac{M_{\theta\theta}(x-R)}{t^3},$$

$$\sigma_{ss} = 12 \frac{M_{ss}(x-R)}{t^3},$$

soit:

$$\sigma_{\theta\theta}(y,x) = \begin{cases} \frac{pR}{t} \left( 1 - \frac{e^{\alpha y}}{2} \left( \cos(\alpha y) + 2v \frac{R - x}{t} \sqrt{\frac{3}{1 - v^2}} \sin(\alpha y) \right) \right) & \forall y \leq 0 \\ \frac{pR}{t} \cdot \frac{e^{-\alpha y}}{2} \left( \cos(\alpha y) - 2v \frac{R - x}{t} \sqrt{\frac{3}{1 - v^2}} \sin(\alpha y) \right) & \forall y \geq 0 \end{cases},$$

et:

$$\sigma_{ss}(y,x) = \begin{cases} \frac{pR}{t} \cdot \frac{x-R}{t} \sqrt{\frac{3}{1-v^2}} e^{\alpha y} \sin(\alpha y) & \forall y \leq 0\\ \frac{pR}{t} \cdot \frac{x-R}{t} \sqrt{\frac{3}{1-v^2}} e^{-\alpha y} \sin(\alpha y) & \forall y \geq 0 \end{cases}.$$

Date: 09/01/2018 Page: 5/7 Responsable: KUDAWOO Ayaovi-Dzifa Clé: V3.03.144 Révision

dbf62274a2ac

#### 2.2 Grandeurs et résultats de référence

On teste les valeurs suivantes :

- la flèche DX aux points A , B et C ,
- la rotation DRZ , aux points A et B ,
- l'effort généralisé NYY aux points B et  $B_1$ ,
- le moment généralisé MXX au point  $B_1$

### Références bibliographiques 2.3

[1] S. ANDRIEUX - F. VOLDOIRE: Modèles de coques. Applications en statique linéaire. Ecole d'Eté CEA-EDF-INRIA d'Analyse Numérique 1992.

#### Incertitudes sur la solution 2.4

Il n'y en a pas

Date: 09/01/2018 Page: 6/7 Responsable: KUDAWOO Ayaovi-Dzifa Clé: V3.03.144 Révision

dbf62274a2ac

### Modélisation A 3

#### 3.1 Caractéristiques de la modélisation

On utilise une modélisation COQUE AXIS. Les modèles de COQUE AXIS sont utilisables aussi bien pour les plaques épaisses (HENCKY-MINDLIN-REISSNER) que pour les plaques minces (KIRCHOFF-LOVE) grâce à une approche par pénalisation qui permet de neutraliser ou non l'énergie de cisaillement : c'est la théorie de HENCKY-MINDLIN-NAGHDI. Afin de se rapprocher numériquement de la solution de LOVE-KIRCHHOFF, il faut prendre un coefficient de cisaillement suffisamment grand (A\_CIS) pour inhiber la cinématique de cisaillement transverse  $\gamma_s$  . Plus ce coefficient est grand, plus la matrice de rigidité est presque singulière donc source d'instabilités numériques.

### 3.2 Caractéristiques du maillage

Le maillage contient 100 éléments de type SEG3.

#### 3.3 Grandeurs testées et résultats

On teste le déplacement dans le coin haut gauche de la plaque.

Identification	Type de référence	Valeur de référence	Précision
Point $A - DX$	'ANALYTIQUE'	63.9488	0.1%
Point $B - DX$	'ANALYTIQUE'	32.000	0.1%
Point $C$ - $DX$	'ANALYTIQUE'	0.05120	0.05
Point A - DRZ	'ANALYTIQUE'	0.06583	0.05
Point B - DRZ	'ANALYTIQUE'	41.133	0.1%
Point B - NYY	'ANALYTIQUE'	2.0000	0.05
Point B1 - NYY	'ANALYTIQUE'	3.84429	0.1%
Point B1 - MXX	'ANALYTIQUE'	-4.01497 10 <sup>-2</sup>	0.1%

Responsable : KUDAWOO Ayaovi-Dzifa

Date : 09/01/2018 Page : 7/7 Clé : V3.03.144 Révision

dbf62274a2ac

# 4 Synthèse des résultats

Les différentes courbes montrent que les déplacements ainsi que les efforts calculés sont très proches de la solution analytique. Ce test permet donc bien de valider la formulation de coque axisymétrique COQUE\_AXIS.